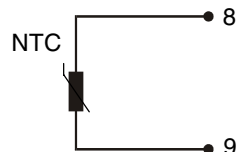
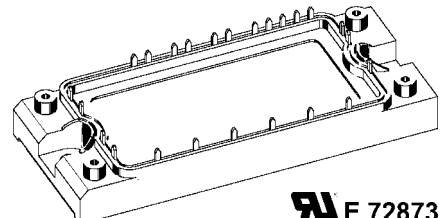
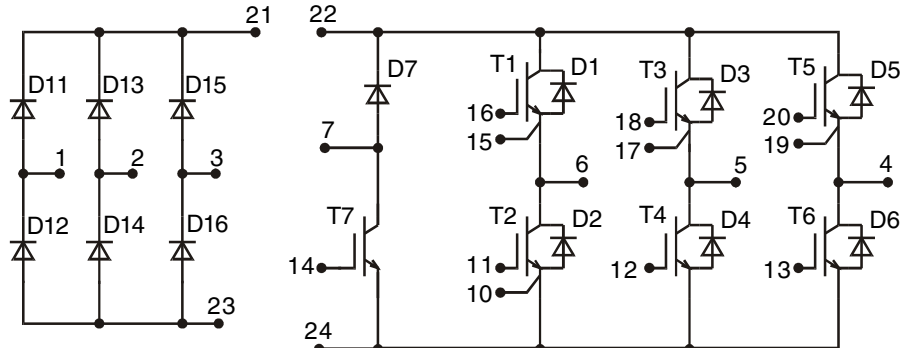


## Converter - Brake - Inverter Module (CBI2)



Three Phase Rectifier	Brake Chopper	Three Phase Inverter
$V_{RRM} = 1600V$	$V_{CES} = 600 V$	$V_{CES} = 600 V$
$I_{DAVM} = 44 A$	$I_{C25} = 35 A$	$I_{C25} = 75 A$
$I_{FSM} = 400 A$	$V_{CE(sat)} = 2.1 V$	$V_{CE(sat)} = 1.9 V$

### Input Rectifier Bridge D11 - D16

Symbol	Conditions	Maximum Ratings		
$V_{RRM}$		1600	V	
$I_{FAV}$	$T_c = 80^\circ C$ ; sine 180°	30	A	
$I_{DAVM}$	$T_c = 80^\circ C$ ; rectangular; $d = 1/3$	29	A	
$I_{FSM}$	$T_{VJ} = 25^\circ C$ ; $t = 10 \text{ ms}$ ; sine 50 Hz	400	A	
$P_{tot}$	$T_c = 25^\circ C$	120	W	

Symbol	Conditions	Characteristic Values			
		( $T_{VJ} = 25^\circ C$ , unless otherwise specified)	min.	typ.	max.
$V_F$	$I_F = 50 A$ ; $T_{VJ} = 25^\circ C$ $T_{VJ} = 125^\circ C$		1.5 1.6	1.8 V	V
$I_R$	$V_R = V_{RRM}$ , $T_{VJ} = 25^\circ C$ $T_{VJ} = 125^\circ C$		2	0.2 mA	mA
$t_{rr}$	$V_R = 100 V$ ; $I_F = 20 A$ ; $di/dt = -20 A/\mu s$		1		$\mu s$
$R_{thJC}$	(per diode)			1.06	K/W

**Application:** AC motor drives with

- Input from single or three phase grid
- Three phase synchronous or asynchronous motor
- electric braking operation

### Features

- High level of integration - only one power semiconductor module required for the whole drive
- Fast rectifier diodes for enhanced EMC behaviour
- NPT IGBT technology with low saturation voltage, low switching losses, high RBSOA and short circuit ruggedness
- Epitaxial free wheeling diodes with Hiperfast and soft reverse recovery
- Industry standard package with insulated copper base plate and soldering pins for PCB mounting
- Temperature sense included

**Output Inverter T1 - T6**

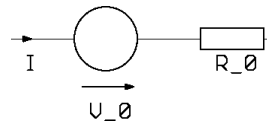
Symbol	Conditions	Maximum Ratings		
$V_{CES}$	$T_{VJ} = 25^\circ\text{C}$ to $150^\circ\text{C}$	600		V
$V_{GES}$	Continuous	$\pm 20$		V
$V_{GEM}$	Transient	$\pm 30$		V
$I_{C25}$	$T_c = 25^\circ\text{C}$	75		A
$I_{C80}$	$T_c = 80^\circ\text{C}$	50		A
<b>RBSOA</b>	$V_{GE} = \pm 15 \text{ V}; R_G = 22 \Omega; T_{VJ} = 125^\circ\text{C}$ Clamped inductive load; $L = 100 \mu\text{H}$	$I_{CM} = 100$		A
$t_{sc}$ <b>(SCSOA)</b>	$V_{CE} = V_{CES}; V_{GE} = \pm 15 \text{ V}; R_G = 22 \Omega; T_{VJ} = 125^\circ\text{C}$ non-repetitive	10		$\mu\text{s}$
$P_{tot}$	$T_c = 25^\circ\text{C}$	250		W

Symbol	Conditions	Characteristic Values		
		( $T_{VJ} = 25^\circ\text{C}$ , unless otherwise specified)	min.	typ.
$V_{CE(sat)}$	$I_c = 50 \text{ A}; V_{GE} = 15 \text{ V}; T_{VJ} = 25^\circ\text{C}$ $T_{VJ} = 125^\circ\text{C}$		1.9 2.2	2.4 V
$V_{GE(th)}$	$I_c = 1 \text{ mA}; V_{GE} = V_{CE}$	4.5		6.5 V
$I_{CES}$	$V_{CE} = V_{CES}; V_{GE} = 0 \text{ V}; T_{VJ} = 25^\circ\text{C}$ $T_{VJ} = 125^\circ\text{C}$		0.7	0.8 mA mA
$I_{GES}$	$V_{CE} = 0 \text{ V}; V_{GE} = \pm 20 \text{ V}$		200	nA
$t_{d(on)}$ $t_r$ $t_{d(off)}$ $t_f$ $E_{on}$ $E_{off}$	Inductive load, $T_{VJ} = 125^\circ\text{C}$ $V_{CE} = 300 \text{ V}; I_c = 50 \text{ A}$ $V_{GE} = \pm 15 \text{ V}; R_G = 22 \Omega$		50 55 300 30 2.3 1.7	ns ns ns ns mJ mJ
$C_{ies}$		2800		pF
$Q_{Gon}$		120		nC
$R_{thJC}$	(per IGBT)		0.5	K/W

**Output Inverter D1 - D6**

Symbol	Conditions	Maximum Ratings		
$I_{F25}$	$T_c = 25^\circ\text{C}$	72		A
$I_{F80}$	$T_c = 80^\circ\text{C}$	45		A

Symbol	Conditions	Characteristic Values		
		min.	typ.	max.
$V_F$	$I_F = 50 \text{ A}; V_{GE} = 0 \text{ V}; T_{VJ} = 25^\circ\text{C}$ $T_{VJ} = 125^\circ\text{C}$		1.8 1.3	V V
$I_{RM}$ $t_{rr}$	$I_F = 25 \text{ A}; di_F/dt = -500 \text{ A}/\mu\text{s}; T_{VJ} = 125^\circ\text{C}$ $V_R = 300 \text{ V}; V_{GE} = 0 \text{ V}$	25		A
$R_{thJC}$		90		ns
$R_{thJC}$	(per diode)		1.19	K/W

**Equivalent Circuits for Simulation****Conduction****D11 - D16**

Rectifier Diode (typ. at  $T_J = 125^\circ\text{C}$ )  
 $V_o = 1.0 \text{ V}; R_o = 12 \text{ m}\Omega$

**T1 - T6 / D1 - D6**

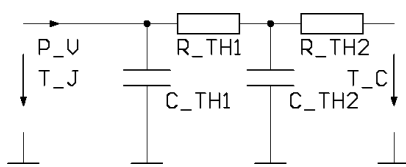
IGBT (typ. at  $V_{GE} = 15 \text{ V}; T_J = 125^\circ\text{C}$ )  
 $V_o = 0.82 \text{ V}; R_o = 28 \text{ m}\Omega$

Free Wheeling Diode (typ. at  $T_J = 125^\circ\text{C}$ )  
 $V_o = 0.89 \text{ V}; R_o = 8 \text{ m}\Omega$

**T7 / D7**

IGBT (typ. at  $V_{GE} = 15 \text{ V}; T_J = 125^\circ\text{C}$ )  
 $V_o = 0.9 \text{ V}; R_o = 65 \text{ m}\Omega$

Free Wheeling Diode (typ. at  $T_J = 125^\circ\text{C}$ )  
 $V_o = 1.07 \text{ V}; R_o = 23 \text{ m}\Omega$

**Thermal Response****D11 - D16**

Rectifier Diode (typ.)  
 $C_{th1} = 0.131 \text{ J/K}; R_{th1} = 0.851 \text{ K/W}$   
 $C_{th2} = 0.839 \text{ J/K}; R_{th2} = 0.209 \text{ K/W}$

**T1 - T6 / D1 - D6**

IGBT (typ.)  
 $C_{th1} = 0.221 \text{ J/K}; R_{th1} = 0.382 \text{ K/W}$   
 $C_{th2} = 1.377 \text{ J/K}; R_{th2} = 0.119 \text{ K/W}$

**Free Wheeling Diode (typ.)**

$C_{th1} = 0.116 \text{ J/K}; R_{th1} = 0.973 \text{ K/W}$   
 $C_{th2} = 0.88 \text{ J/K}; R_{th2} = 0.217 \text{ K/W}$

**T7 / D7****IGBT (typ.)**

$C_{th1} = 0.108 \text{ J/K}; R_{th1} = 0.79 \text{ K/W}$   
 $C_{th2} = 0.921 \text{ J/K}; R_{th2} = 0.209 \text{ K/W}$

**Free Wheeling Diode (typ.)**

$C_{th1} = 0.043 \text{ J/K}; R_{th1} = 2.738 \text{ K/W}$   
 $C_{th2} = 0.54 \text{ J/K}; R_{th2} = 0.462 \text{ K/W}$

**Brake Chopper T7**

Symbol	Conditions	Maximum Ratings		
$V_{CES}$	$T_{VJ} = 25^\circ\text{C}$ to $150^\circ\text{C}$	600		V
$V_{GES}$	Continuous	$\pm 20$		V
$V_{GEM}$	Transient	$\pm 30$		V
$I_{C25}$	$T_C = 25^\circ\text{C}$	35		A
$I_{C80}$	$T_C = 80^\circ\text{C}$	25		A
<b>RBSOA</b>	$V_{GE} = \pm 15 \text{ V}$ ; $R_G = 47 \Omega$ ; $T_{VJ} = 125^\circ\text{C}$ Clamped inductive load; $L = 100 \mu\text{H}$	$I_{CM} = 40$ $V_{CEK} \leq V_{CES}$		A
$t_{sc}$ (SCSOA)	$V_{CE} = V_{CES}$ ; $V_{GE} = \pm 15 \text{ V}$ ; $R_G = 47 \Omega$ ; $T_{VJ} = 125^\circ\text{C}$ non-repetitive	10		$\mu\text{s}$
$P_{tot}$	$T_C = 25^\circ\text{C}$	125		W

Symbol	Conditions	Characteristic Values		
		$(T_{VJ} = 25^\circ\text{C}$ , unless otherwise specified)		
		min.	typ.	max.
$V_{CE(sat)}$	$I_C = 25 \text{ A}$ ; $V_{GE} = 15 \text{ V}$ ; $T_{VJ} = 25^\circ\text{C}$ $T_{VJ} = 125^\circ\text{C}$	2.1 2.4	2.6 V V	V
$V_{GE(th)}$	$I_C = 0.5 \text{ mA}$ ; $V_{GE} = V_{CE}$	4.5		6.5 V
$I_{CES}$	$V_{CE} = V_{CES}$ ; $V_{GE} = 0 \text{ V}$ ; $T_{VJ} = 25^\circ\text{C}$ $T_{VJ} = 125^\circ\text{C}$	0.3		0.5 mA mA
$I_{GES}$	$V_{CE} = 0 \text{ V}$ ; $V_{GE} = \pm 20 \text{ V}$		200	nA
$t_{d(on)}$ $t_r$ $t_{d(off)}$ $t_f$ $E_{on}$ $E_{off}$	Inductive load, $T_{VJ} = 125^\circ\text{C}$ $V_{CE} = 300 \text{ V}$ ; $I_C = 25 \text{ A}$ $V_{GE} = \pm 15 \text{ V}$ ; $R_G = 47 \Omega$	50 60 300 30 1.15 0.85		ns ns ns ns mJ mJ
$C_{ies}$		1100		pF
$Q_{Gon}$		65		nC
$R_{thJC}$			1.0	K/W

**Brake Chopper D7**

Symbol	Conditions	Maximum Ratings		
$V_{RRM}$	$T_{VJ} = 25^\circ\text{C}$ to $150^\circ\text{C}$	600		V
$I_{F25}$	$T_C = 25^\circ\text{C}$	22		A
$I_{F80}$	$T_C = 80^\circ\text{C}$	15		A
Symbol	Conditions	Characteristic Values		
		min.	typ.	max.
$V_F$	$I_F = 25 \text{ A}$ ; $T_{VJ} = 25^\circ\text{C}$ $T_{VJ} = 125^\circ\text{C}$	1.8	2.5 V V	
$I_R$	$V_R = V_{RRM}$ ; $T_{VJ} = 25^\circ\text{C}$ $T_{VJ} = 125^\circ\text{C}$	0.07	0.06 mA mA	
$I_{RM}$ $t_{rr}$	$I_F = 10 \text{ A}$ ; $di_F/dt = -400 \text{ A}/\mu\text{s}$ ; $T_{VJ} = 125^\circ\text{C}$ $V_R = 300 \text{ V}$	11 80		A ns
$R_{thJC}$			3.2	K/W

## Temperature Sensor NTC

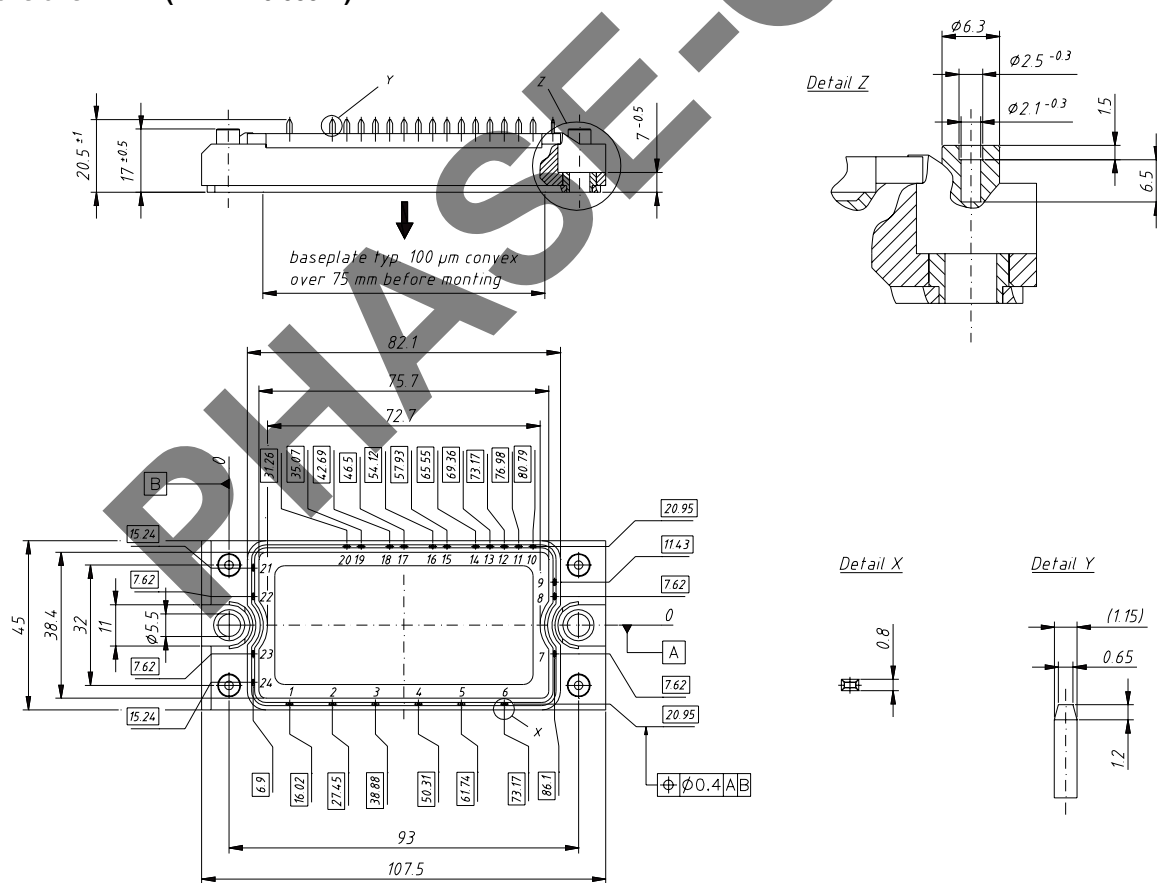
Symbol	Conditions	Characteristic Values		
		min.	typ.	max.
$R_{25}$ $B_{25/50}$	$T = 25^\circ\text{C}$	4.75	5.0 3375	5.25 k $\Omega$ K

## Module

Symbol	Conditions	Maximum Ratings		
$T_{VJ}$	Operating	-40...+125	$^\circ\text{C}$	
$T_{JM}$		150	$^\circ\text{C}$	
$T_{stg}$		-40...+125	$^\circ\text{C}$	
$V_{ISOL}$	$I_{ISOL} \leq 1 \text{ mA}; 50/60 \text{ Hz}$	2500	V~	
$M_d$	Mounting torque (M5)	2.7 - 3.3	Nm	

Symbol	Conditions	Characteristic Values		
		min.	typ.	max.
$R_{pin-chip}$			5	m $\Omega$
$d_s$	Creepage distance on surface	6		mm
$d_A$	Strike distance in air	6		mm
$R_{thCH}$	with heatsink compound	0.02		K/W
Weight		180		g

Dimensions in mm (1 mm = 0.0394")



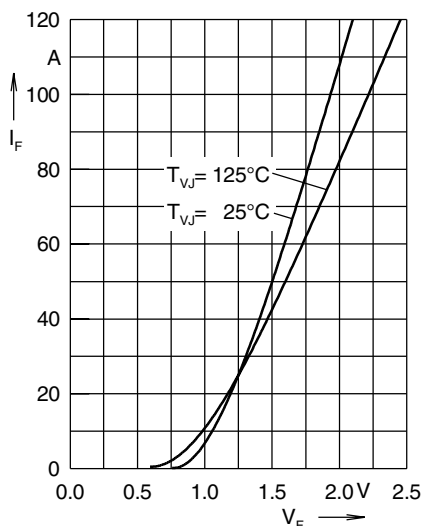
**Input Rectifier Bridge D11 - D16**

Fig. 1 Forward current versus voltage drop per diode

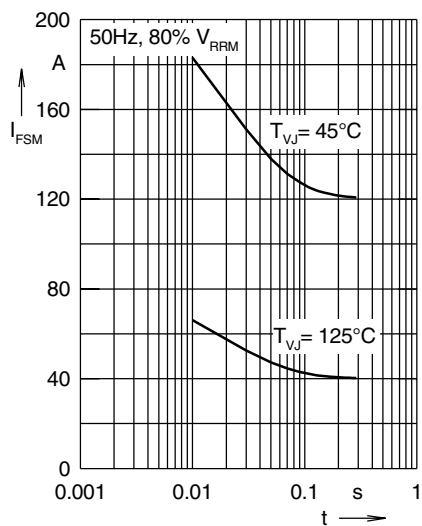


Fig. 2 Surge overload current

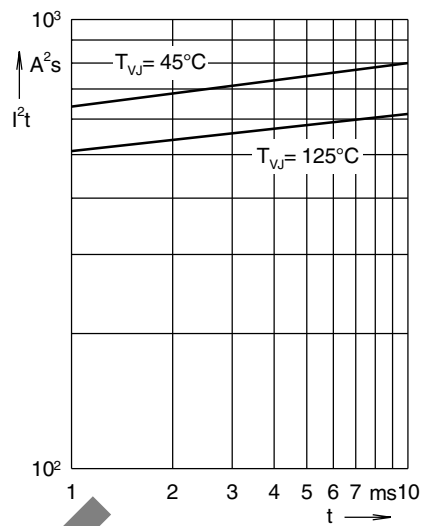
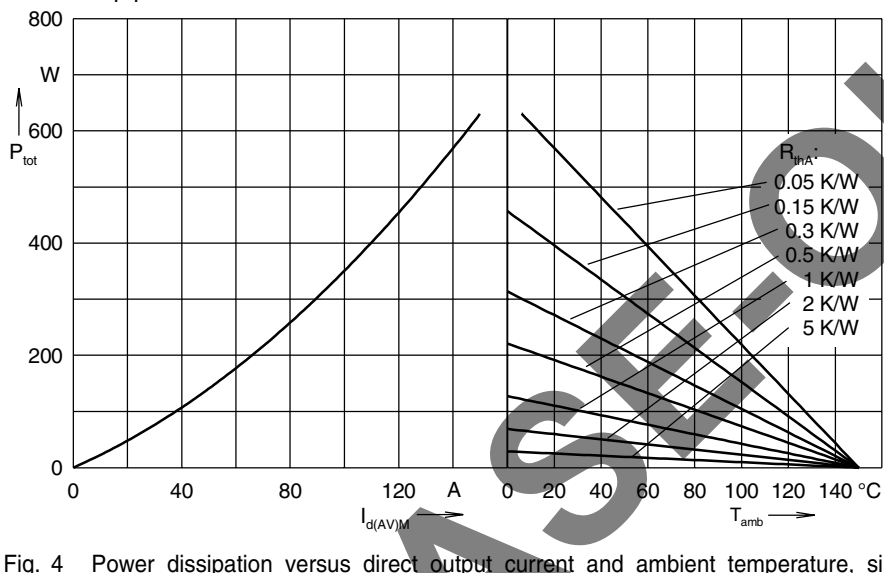
Fig. 3  $I^2t$  versus time per diode

Fig. 4 Power dissipation versus direct output current and ambient temperature, sin 1

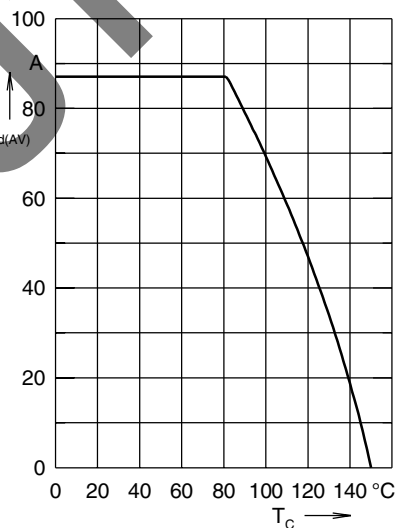


Fig. 5 Max. forward current versus case temperature

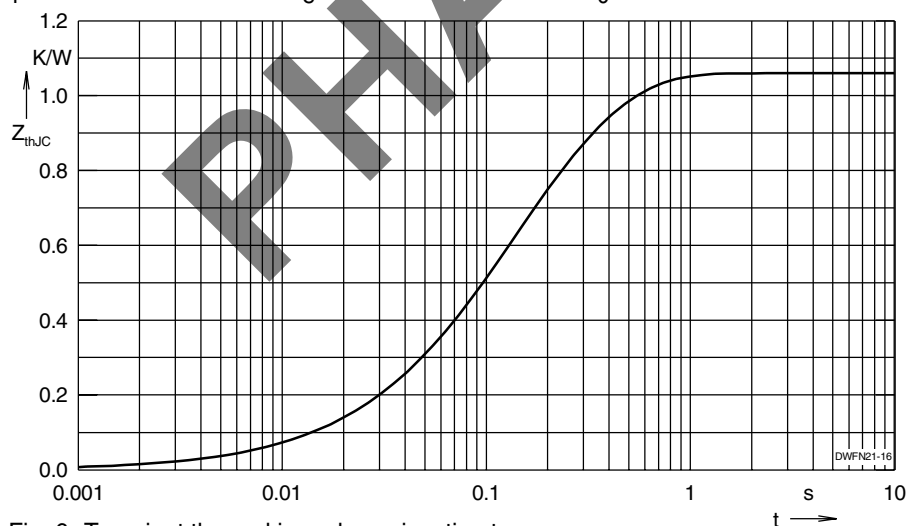


Fig. 6 Transient thermal impedance junction to case

## Output Inverter T1 - T6 / D1 - D6

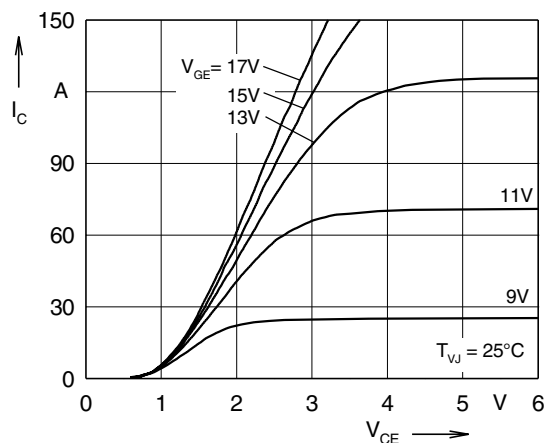


Fig. 7 Typ. output characteristics

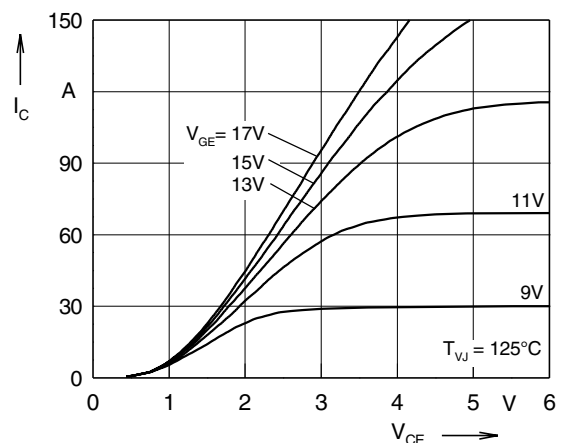


Fig. 8 Typ. output characteristics

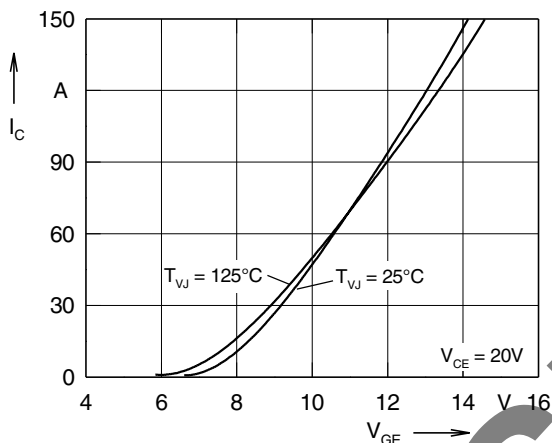


Fig. 9 Typ. transfer characteristics

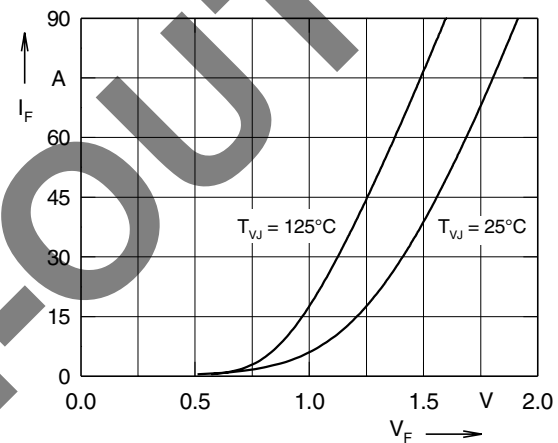


Fig. 10 Typ. forward characteristics of free wheeling diode

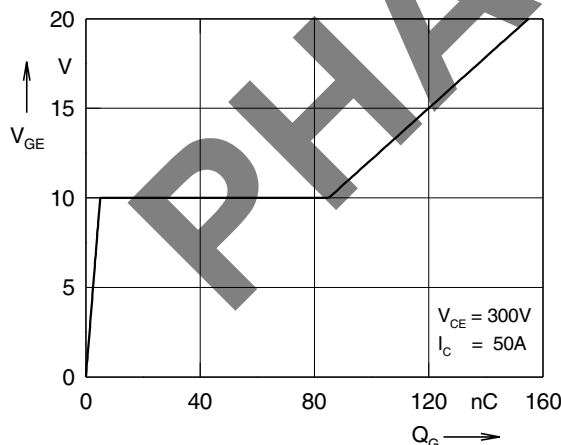


Fig. 11 Typ. turn on gate charge

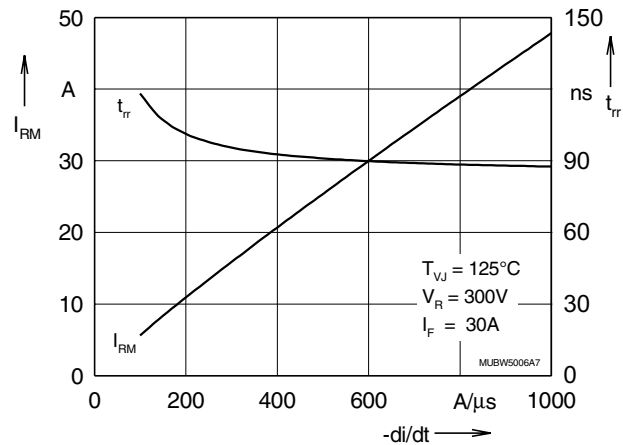


Fig. 12 Typ. turn off characteristics of free wheeling diode

## Output Inverter T1 - T6 / D1 - D6

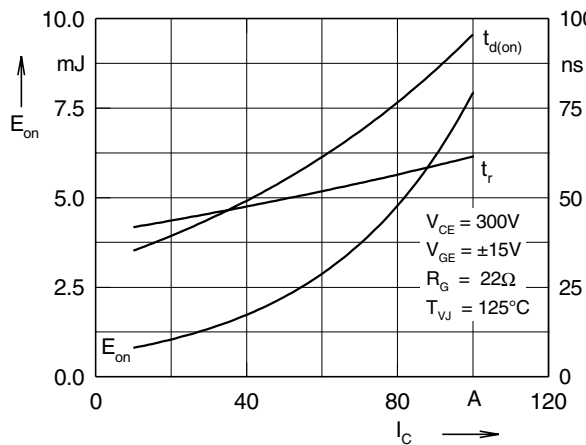


Fig. 13 Typ. turn on energy and switching times versus collector current

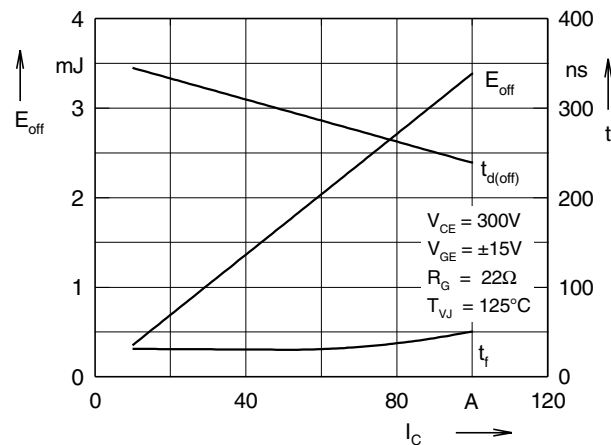


Fig. 14 Typ. turn off energy and switching times versus collector current

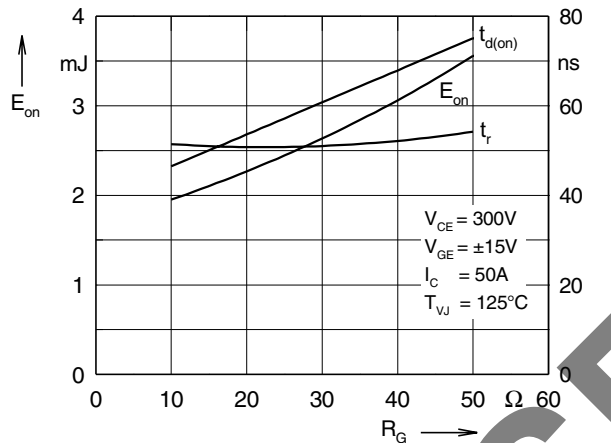


Fig. 15 Typ. turn on energy and switching times versus gate resistor

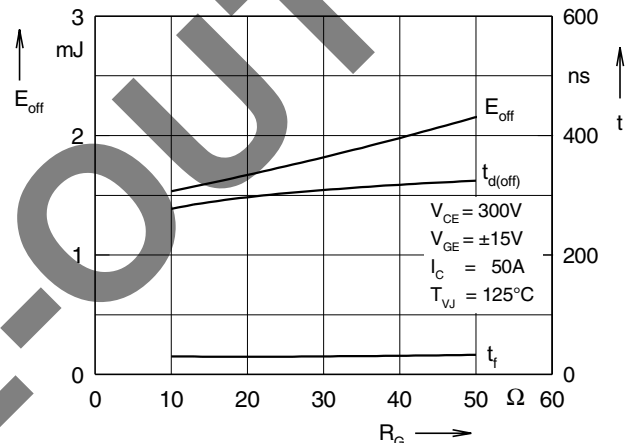


Fig. 16 Typ. turn off energy and switching times versus gate resistor

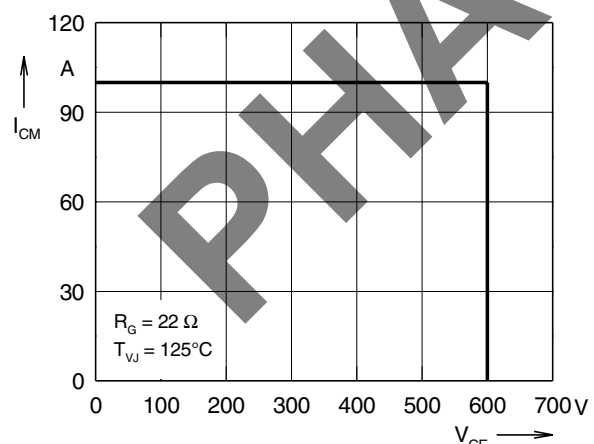


Fig. 17 Reverse biased safe operating area RBSOA

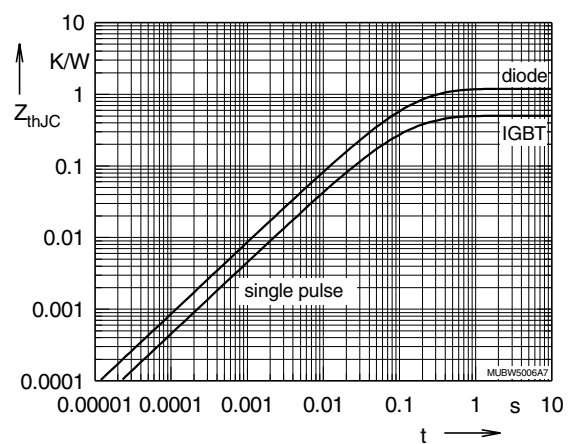


Fig. 18 Typ. transient thermal impedance

## Brake Chopper T7 / D7

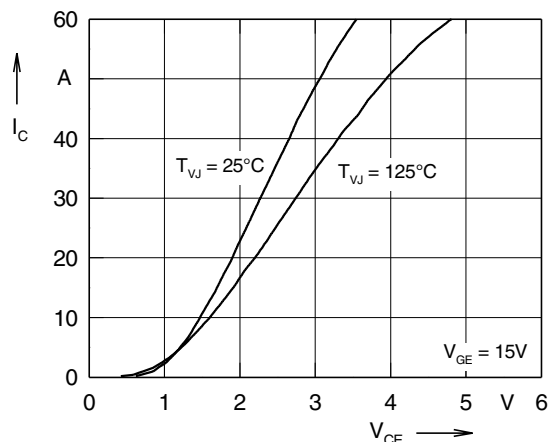


Fig. 19 Typ. output characteristics

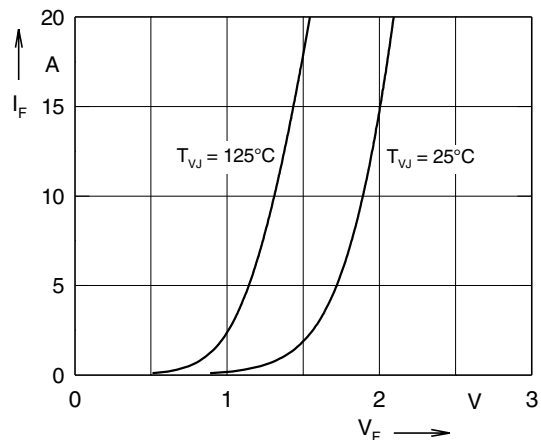


Fig. 20 Typ. forward characteristics of free wheeling diode

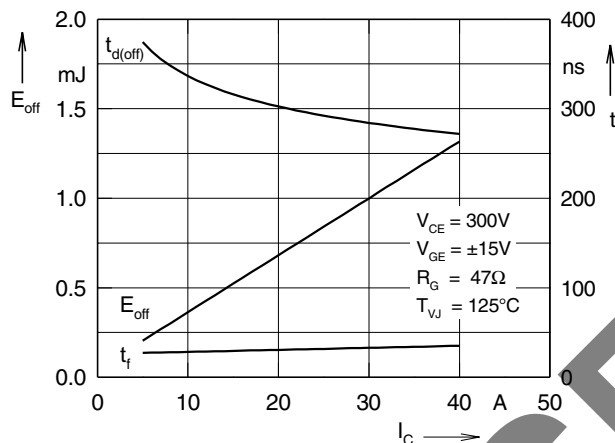


Fig. 21 Typ. turn off energy and switching times versus collector current

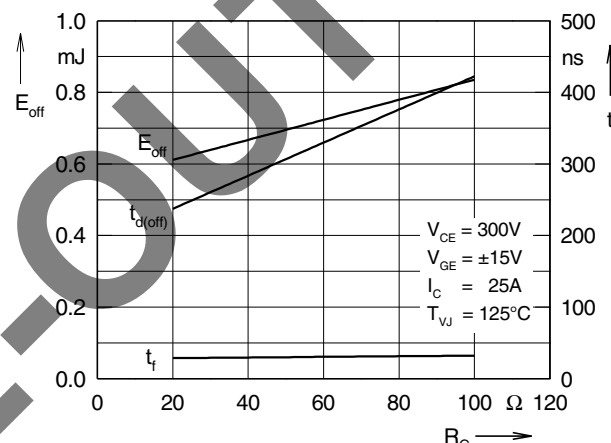


Fig. 22 Typ. turn off energy and switching times versus gate resistor

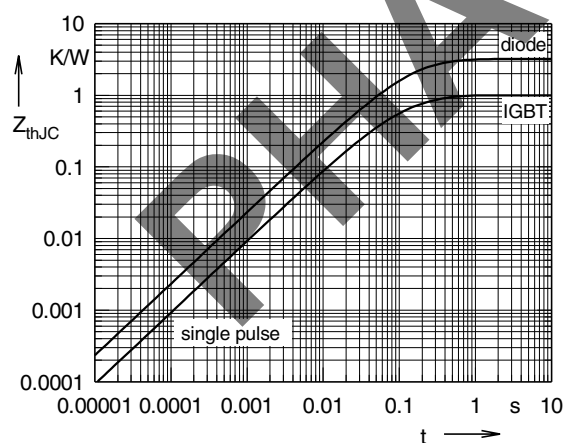


Fig. 23 Typ. transient thermal impedance

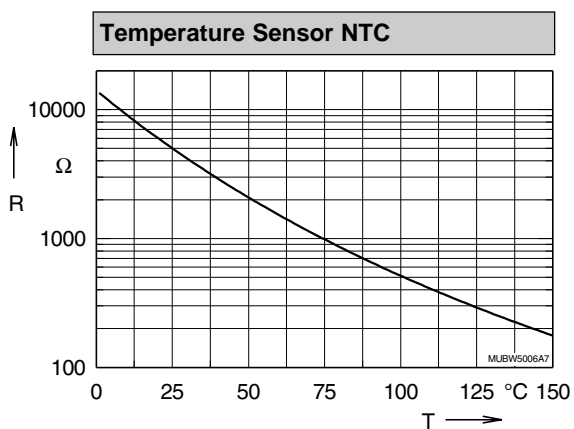


Fig. 24 Typ. thermistorresistance versus temperature



**Стандарт  
Электрон  
Связь**

Мы молодая и активно развивающаяся компания в области поставок электронных компонентов. Мы поставляем электронные компоненты отечественного и импортного производства напрямую от производителей и с крупнейших складов мира.

Благодаря сотрудничеству с мировыми поставщиками мы осуществляем комплексные и плановые поставки широчайшего спектра электронных компонентов.

Собственная эффективная логистика и склад в обеспечивает надежную поставку продукции в точно указанные сроки по всей России.

Мы осуществляем техническую поддержку нашим клиентам и предпродажную проверку качества продукции. На все поставляемые продукты мы предоставляем гарантию .

Осуществляем поставки продукции под контролем ВП МО РФ на предприятия военно-промышленного комплекса России , а также работаем в рамках 275 ФЗ с открытием отдельных счетов в уполномоченном банке. Система менеджмента качества компании соответствует требованиям ГОСТ ISO 9001.

Минимальные сроки поставки, гибкие цены, неограниченный ассортимент и индивидуальный подход к клиентам являются основой для выстраивания долгосрочного и эффективного сотрудничества с предприятиями радиоэлектронной промышленности, предприятиями ВПК и научно-исследовательскими институтами России.

С нами вы становитесь еще успешнее!

**Наши контакты:**

**Телефон:** +7 812 627 14 35

**Электронная почта:** [sales@st-electron.ru](mailto:sales@st-electron.ru)

**Адрес:** 198099, Санкт-Петербург,  
Промышленная ул, дом № 19, литер Н,  
помещение 100-Н Офис 331